

УДК 561.26+563.14 (571.66)

ЭОЦЕНОВЫЕ ДИАТОМЕИ И СИЛИКОФЛАГЕЛЛЯТЫ ИЗ ОТЛОЖЕНИЙ КРОНОЦКОГО ЗАЛИВА (ВОСТОЧНАЯ КАМЧАТКА)

© 2003 г. И. Б. Цой

Тихоокеанский океанологический институт им. В.И. Ильчева ДВО РАН, Владивосток

Поступила в редакцию 31.07.2001 г., получена после доработки 19.11.2001 г.

Представлены эоценовые комплексы диатомей и силикофлагеллят из отложений Кроноцкого залива. Они являются пока самыми древними находками ископаемого фитопланктона с кремневым скелетом в Северо-Западной Пацифике. Всего определено более 130 видов диатомей, принадлежащих 59 родам, и 24 вида силикофлагеллят, принадлежащих 5 родам. Выделены 3 среднеэоценовых (комплексы зон *Lisitzinia kanayai*, *Lisitzinia inconspicua* var. *trilobata* и *Praesymatosira monostombranacea*) и 1 предположительно средне-позднеэоценовый (комплекс с *Rylandsia conniventa*) комплекса диатомей. Впервые приводится обширный комплекс силикофлагеллят, относимый к зоне *Dictyoscha hexacantha*. Предполагается, что комплексы формировались преимущественно в батиальных условиях при относительно высоких (близких к субтропическим) температурах поверхностных вод.

Ключевые слова. Диатомеи, силикофлагелляты, средний эоцен, поздний эоцен, Кроноцкий залив, Восточная Камчатка, палеоусловия, Северо-Западная Пацифика.

Находки микропланктона с кремневым скелетом раннепалеогенового возраста в Северной Пацифике довольно редки. Возможно это связано с тем, что экспансия биогенного кремненакопления началась позже, в олигоцене (Proceedings ODP..., 1995) и более широко в неогене (Baldauf, Baatop, 1990). С другой стороны, нельзя исключать того, что редкая встречаемость кремнистых микроископаемых раннего палеогена связана с плохой сохранностью скелетов, особенно в окраинных бассейнах, где отмечены большие мощности осадочных отложений и высокий тепловой поток, которые способствуют трансформации аморфного кремнезема в кристобалит (Hein et al., 1978). Поэтому интерес к находкам палеогенового микропланктона с кремневым скелетом вполне оправдан. Определенный интерес вызывает и район исследования. Несмотря на появление ряда биостратиграфических работ по раннему кайнозою Восточной Камчатки, сведения о возрасте и условиях формирования отложений этого региона пока довольно противоречивы (Беньяковский, Гладенков, 1996; Левашова и др., 2000). Кроме того, серьезным препятствием для расшифровки кайнозойского развития региона является практически полное отсутствие достоверных данных о составе и возрасте пород континентального склона Восточной Камчатки (Селивёрстов, 1998).

В настоящей работе предлагаются результаты изучения диатомей и силикофлагеллят из кайнозойских отложений Кроноцкого залива. Первые

определения диатомей из вулканогенно-осадочных отложений Кроноцкого залива, проведенные Е.Г. Лупикиной, Л.М. Долматовой и И.Б. Цой, позволили предположить позднеэоцен-олигоценовый возраст диатомовой флоры (Селивёрстов, 1998). Детальное описание палеогеновых комплексов диатомей из этих отложений было проведено З.И. Глезер с соавторами (1986) и В.С. Пушкарем (1987), которые впервые выделили среднеэоценовые и позднеэоцен-олигоценовые комплексы. Однако интерпретация возраста комплексов даже из одних образцов существенно различается. Появление новых данных о стратиграфическом распространении видов, описание новых видов позволило вновь вернуться к палеогеновым комплексам диатомей Кроноцкого залива. Комплексное микропалеонтологическое (диатомеи, радиолярии, палинофлора) исследование позволило проанализировать весь имеющийся материал по Кроноцкому заливу (Цой и др., 2000) и установить, что осадочный разрез представлен здесь в основном двумя толщами: верхней, содержащей микроископаемые поздне-миоцен-плейстоценового возраста и нижней, в которой установлены преимущественно среднеэоценовые комплексы.

Настоящая статья посвящена эоценовым комплексам диатомей и силикофлагеллят: представлен их полный таксономический состав, дано обоснование возраста и интерпретация палеоусловий.

Таблица 1. Местоположение изученных станций в Кроноцком заливе

Станция	Широта, с.ш.	Долгота, в.д.	Глубина, м
9-й рейс НИС "Вулканолог", 1979 г.			
B9-Г4	54°13.8'	161°12.8'	1460
12-й рейс НИС "Вулканолог", 1981 г.			
Жупановский каньон			
B12-22	53°34.3'	160°12.2'	887–652
B12-23	53°33.0'	160°11.0'	800–145
B12-24	53°35.0'	160°12.7'	870–720
B12-25	53°30.5'	160°20.4'	2080–1470
B12-26	53°30.7'	160°21.1'	1400–840
Каньон Ольги			
B12-33	54°18.65'	161°08.8'	600–575
B12-34	54°18.3'	161°09.3'	450–215
B12-35	54°19.3'	161°08.3'	577–243
B12-36	54°15.9'	161°10.2'	1120–740
B12-37	54°11.6'	161°11.2'	1210–1186
B12-38	54°11.9'	161°11.4'	1756–1665
Кроноцкий каньон			
B12-39	53°50.8'	160°43.7'	2703–1817

КРАТКАЯ ГЕОЛОГО-ГЕОФИЗИЧЕСКАЯ ХАРАКТЕРИСТИКА

Кроноцкий залив с севера ограничен Кроноцким хребтом, являющимся подводным продолжением одноименного полуострова. Южное окончание этого хребта примыкает к камчатской ветви Курило-Камчатского глубоководного желоба. Шельфовая терраса шириной 10–50 км переходит в континентальный склон на глубине до 900 м (Селивёрстов, 1998). Шельф и склон Кроноцкого залива глубоко расчленены крупными V-образными каньонами (Кроноцкий, Ольги, Жупановский), которые врезаются в акустический фундамент. Глубины врезания наиболее крупных каньонов в континентальный склон достигают 2 км. Верхняя часть осадочного разреза представлена ритмично слоистыми толщами с субгоризонтальными границами раздела и сложена вулканогенно-осадочными породами позднемиоцен-плейстоценового возраста (Цой и др., 2000). Их мощность достигает максимальных значений в южной части котловины Кроноцкого залива (1.5–2 км). Нижняя часть разреза соответствует акустически прозрачному осадочному комплексу, сравнительно выдержанному по мощности (400–700 м). По границе раздела слоистой толщи и акустически прозрачной толщи отмечается несогласие, наиболее ярко выраженное в периферийных частях котловины. Акустически прозрачный осадочный комплекс согласно залегает на подстилающем

акустическом фундаменте, представленном преимущественно вулканокластическими породами (туфы, гиалокластиты).

МАТЕРИАЛЫ И МЕТОДИКА

Отбор образцов проводился в 9-ом (грунтовой трубкой) и 12-ом (драгированием) рейсах НИС "Вулканолог", организованных Институтом вулканологии ДВО РАН (начальник экспедиций Н.И. Селивёрстов) (табл. 1; рис. 1). Поинтеральное драгирование осадочного разреза выполнялось по отработанным ранее сейсмоакустическим профилям (Селивёрстов, 1998).

Выделение диатомей и силикофлагеллят из осадочных пород проводилось по стандартной методике с использованием тяжелой калиево-кадмевой жидкости. Определение микроископаемых велось при увеличении ×1350, подсчет створок при – ×900, количественное соотношение видов в зависимости от обилия – из 100, 200 и 300 подсчитанных экземпляров. Интерпретация палеоусловий включала реконструкцию палеобатиметрии, основанную преимущественно на соотношении процентного содержания океанических и неритических видов (Жузе, 1962; Koizumi, 1983; Yanagisawa, 1996), и относительных температур поверхностных вод, предполагаемых на основе содержания тепловодных (низкоширотных) видов диатомей и силикофлагеллят. Всего изучено 52 образца, из которых палеогеновые комплексы обнаружены только в 9 образцах, в 12 образцах установлены комплексы диатомей позднего миоцена – плейстоцена, в 31 образце диатомеи представлены единичными неопределенными остатками или не обнаружены. Ниже дано описание палеогеновых комплексов диатомей и силикофлагеллят, обнаруженных в изученных отложениях Кроноцкого залива.

РЕЗУЛЬТАТЫ

Каньон Ольги. Здесь осадочный комплекс, выходящий в бортах каньона, опробовался грунтовой трубкой и драгированием (рис. 1, 2). Верхняя часть каньона в интервале 600–215 м (станции B12-33 – B12-35), сложена в основном мелкогалечниковыми конгломератами, туфодиатомитами и алевролитами с примесью гальки и туфопесчаного материала (Научно-технический отчет..., 1980). Диатомеи обнаружены только в туфодиатомитах и представлены четвертичным комплексом. Ниже по склону в интервале 1120–740 м (станция B12-36) подняты слаболитифицированные алевролиты с прослоями мелкозернистого песчаника и единичной галькой, слоистые туфодиатомиты (слои представляют собой чередование светлых туфодиатомитов и темно-серых аргиллитов), туфодиатомиты с прослоями песчани-

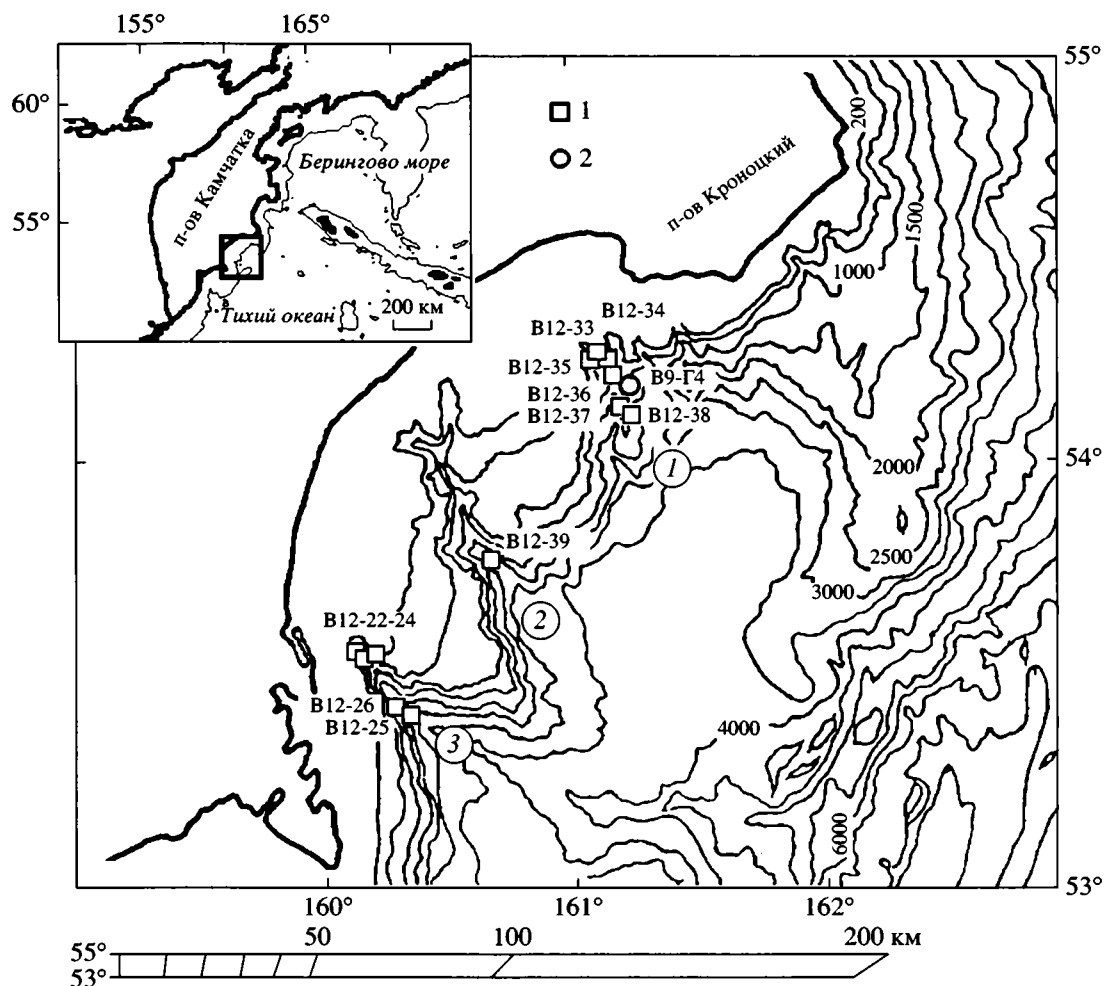


Рис. 1. Местоположение изученных станций в Кроноцком заливе.

1 – станции драгирования, 2 – грунтовая трубка. Цифры в кружках: 1 – каньон Ольги, 2 – Кроноцкий каньон, 3 – Жупановский каньон (батиметрическая основа карты по Gnibidenko et al., 1983).

ков и редкой галькой, черные вулканомиктовые плохо сортированные песчаники и туфогравелиты (Научно-технический отчет..., 1982). На станции B12-37 (глубины 1210–1186 м) подняты черные массивные алевролиты, туфодиатомиты и базальты. С борта каньона с глубины 1460 м (станция B9-Г4) грунтовой трубкой были подняты 15 см плотных туфодиатомитов, которые по цвету разделены на два слоя: серый нижний слой (интервал 15–9 см), светло-желтый верхний слой (интервал 9–0 см). Контакт между слоями четкий, неровный.

В нижней части склона каньона на станции B12-38 (глубины 1756–1665 м) подняты туфодиатомиты, переслаивающиеся с черными туфопесчаниками и песчаниками, вулканомиктовые туфопесчаники, аргиллиты, галька вулканогенных пород и окатанные обломки туфодиатомитов с ходами илоедов. В аргиллитах (обр. B12-38-3) и туфопесчаниках (обр. B12-38-2) установлены

лишь неопределенные остатки диатомей. Туфодиатомиты и алевролиты содержат разнообразные микроископаемые с кремневым скелетом: диатомеи, силикофлагелляты, радиолярии. Диатомеи и силикофлагелляты подразделяются на 4 комплекса.

Комплекс диатомей (определен 25 видов) из плотного туфодиатомита (обр. B12-36-1-4) характеризуется высокой численностью *Lisitzinia kanayai* (Fenner) Gleser и участием видов *Riedelia borealis* Sheshukova, *Paralia crenulata* (Grunow) Gleser, *Hemialus polycystinorum* Ehrenberg, *H. polymorphus* Grunow, *Stephanopyxis* spp., *Lisitzinia inconspicua* var. *trilobata* Gleser, *Azpeitia tuberculata* var. *atlantica* (Gleser et Jousé) Sims, *Coscinodiscus decessans* Grunow и др. (табл. 2). Соотношение экологических групп (океанические виды – 55.5%, неритические – 24%, бентические – 1%) предполагает батиальные условия формирования флоры. Силикофлагелляты представлены среднезоцено-

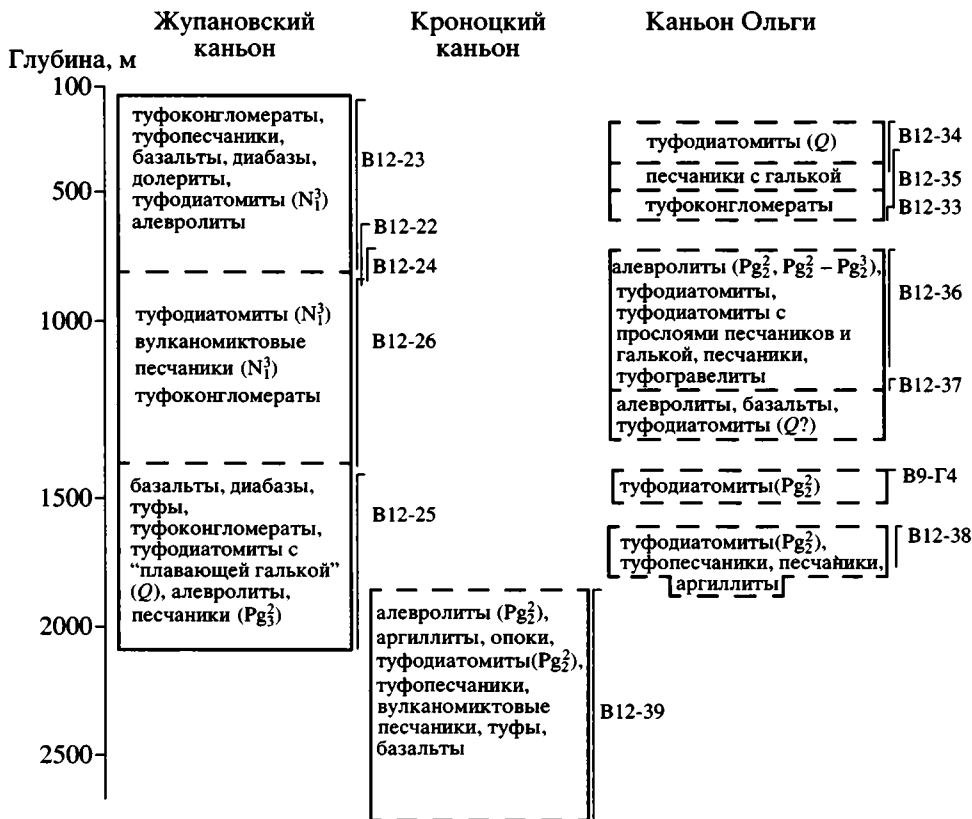


Рис. 2. Литологический состав и возраст пород (по диатомеям и силикофлагеллятам) опробованных интервалов подводных каньонов Кроноцкого залива (Восточная Камчатка) (B9-Г4, B12-22-B12-39 – номера станций; индексы возраста: Pg_2^2 – средний эоцен, $Pg_2^2 - Pg_3^3$ – средний – поздний эоцен, Pg_3^3 – поздний олигоцен, N_1^3 – поздний миоцен, Q – плейстоцен).

вым тепловодным видом *Naviculopsis foliacea* De- flandre.

Комплексы диатомей из алевролитов (обр. B12-36-1-1) и туфодиатомитов (обр. B12-38-1) близки по составу, но различаются по доминирующему видам: в первом доминирует *Lisitzinia inconspicua* var. *trilobata* Gleser, во втором – *Paralia crenulata* (Grunow) Gleser. Характерным для обоих комплексов является разнообразие представителей рода *Hemiaulus* и *Stephanopyxis*, участие видов *Azpeitia tuberculata* var. *atlantica* (Gleser et Jousé) Sims, *Asterolampra vulgaris* Greville, *Coscinodiscus decrescens* Grunow, *Navicula udintsevii* Schrader, *Praecymatosira monomembranaceae* (Schrader) Strelnikova, *Coscinodiscus tenerimus* Jousé, *C. hajosiae* Fenner, *Costopyxis trochlea* (Hanna) Strelnikova, *Pterotheca aculeifera* Grunow, *Peronia* sp. и др. (табл. 2). Различен экологический состав комплексов: комплекс из обр. B12-36-1-1 характеризуется высоким содержанием океанических (45.3%) и тепловодных (40.7%) видов, в комплексе из обр. B12-38-1 высоко содержание неритических видов (около 56.9%). Единичные силикофлагелляты, представленные видами *Corbisema hastata globulata* Bukry, *Dictyocha*

deflandrei Frenguelli ex Gleser, *Naviculopsis foliacea* Deflandre, отмечены только в последнем образце.

В туфодиатомитах, поднятых грунтовой трубкой (станция B9-Г4, глубина 1460 м), комплексы диатомей представлены двумя ассоциациями. Ассоциация диатомей из нижнего слоя (обр. B9-Г4-2947, B9-Г4-2949), содержащая 48 видов, характеризуется резким преобладанием вида *Paralia crenulata* (Grunow) Gleser. Створки этого вида отличаются хорошей сохранностью; наряду с отдельными створками часто встречаются остатки колоний. Из стратиграфически важных видов в этих образцах отмечены *Peronia barbadense* Greville, *Peponia* sp., *Praecymatosira monomembranaceae* (Schrader) Strelnikova, *Coscinodiscus hajosiae* Fenner, *Distephanosira architecturalis* (Brun) Gleser, *Coscinodiscus* cf. *excavatus* Castracane, *Navicula udintsevii* Schrader, *Azpeitia tuberculata* var. *atlantica* (Gleser et Jousé) Sims, *Lisitzinia inconspicua* var. *inconspicua* Gleser, *L. inconspicua* var. *trilobata* Gleser и др. (табл. 2). Силикофлагелляты представлены видами *Corbisema triacantha* (Ehrenberg) Bukry et Foster, *Distephanus* sp. Экологический состав комплекса характеризуется резким преобладанием

Таблица 2. Таксономический состав диатомей из образцов Кроноцкого залива

Диатомовые комплексы		L. kanayai		L. inconspicua v. trilobata		P. monomem- branaceae		R. con- niventa		
Таксономический состав		экология	B12-39-1-4	B12-36-1-4	B12-36-1-1	B12-38-1	B9-Г4-2947	B9-Г4-2949	B9-Г4-2948	B12-36-1-2
Actinocyclus ingens Rattray	pow				3.3					*
Actinoptychus senarius Ehrenberg	b		0.5	0.3	1.3	0.3				2.0
Actinoptychus sp.	b				1.0	0.3			0.3	
Anaulus sp.	b									*
Arachnoidiscus indicus Ehrenberg	b	1.0							0.3	0.4
Arachnoidiscus spp.	b	1.0		0.3	0.3	0.3	0.3	0.3		*
Asterolampra insignis A. Schmidt	pow									0.4
Asterolampra marylandica Ehrenberg	pow									*
Asterolampra praeacutiloba Fenner	pow									0.2
Asterolampra punctifera (Grunow) Hanna	pow									0.4
Asterolampra schmidtii Hajós	pow									0.4
Asterolampra spp.	pow									0.4
Asterolampra vulgaris Greville	pow	1.0		0.3						0.4
Aulacodiscus cf. lahusenii Witt	b									*
Aulacodiscus inflatus var. spinifer Brun	b									0.2
Aulacodiscus lahusenii Witt	b									0.2
Aulacoseira sp.	fw									0.2
Azpeitia (Coscinodiscus) gombosii Gleser, Dolmatova et Lupikina	pow						0.3	0.3		6.0
Azpeitia oligocenica (Jousé) Sims	pow						0.3			0.2
Azpeitia sp.	pow						0.3			
Azpeitia tuberculata var. atlantica (Gleser et Jousé) Sims	pow	0.5	8.7	0.6			0.3	0.7		1.6
Biddulphia sp.	b	1.0			0.3					
Biddulphia tuomei (Bailey) Roper	b	1.0		0.3	0.3					
Bipalla (Melosira) oamaruensis (Grove et Sturt) Gleser	pn			0.3						
Brightwellia sp. (B. cf. imperfecta Jousé)	pow									0.2
Cavatitus cf. jouseanus Sheshukova	pow							0.3		0.2
Cestodiscus spp.	pow					0.3				*
Chaetoceros (Xanthiopyxis) panduraeformis (Pantocsek) Gombos	s	0.5				0.3				0.2
Chaetoceros spp.	s	2.0	0.5		2.0		0.3	0.7		8.0
Clavicularia polymorpha Grunow et Pantocsek	b			0.3						*
Coscinodiscus aff. excavatus Castracane	pow					0.3	0.3	0.3		
Coscinodiscus apiculatus var. ambiguus Grunow	po					0.3				
Coscinodiscus argus Ehrenberg	po	1.0				0.3		1.3		0.4
Coscinodiscus asteromphalus Ehrenberg	pow									0.4
Coscinodiscus decrescenoides Jousé	po	1.0								
Coscinodiscus decrescens Grunow	po	1.0	4.0	2.7	0.3		0.3			10.0
Coscinodiscus hajosiae Fenner (=Hyalopoda spiralis (Hajós) Kozyrenko et Jackovschikova, Стрельникова и др., 1998)	po				0.3		0.3	0.3		2.0
Coscinodiscus marginatus Ehrenberg	po	1.0				0.7	0.7	3.0	1.7	
Coscinodiscus mirabilis Jousé	po	1.0				0.3				*
Coscinodiscus monicae Grunow	po									*
Coscinodiscus oculus iridis Ehrenberg	po	1.0		0.3				0.3		0.4
Coscinodiscus sectorialis Gleser, Dolmatova et Lupikina	p									0.8

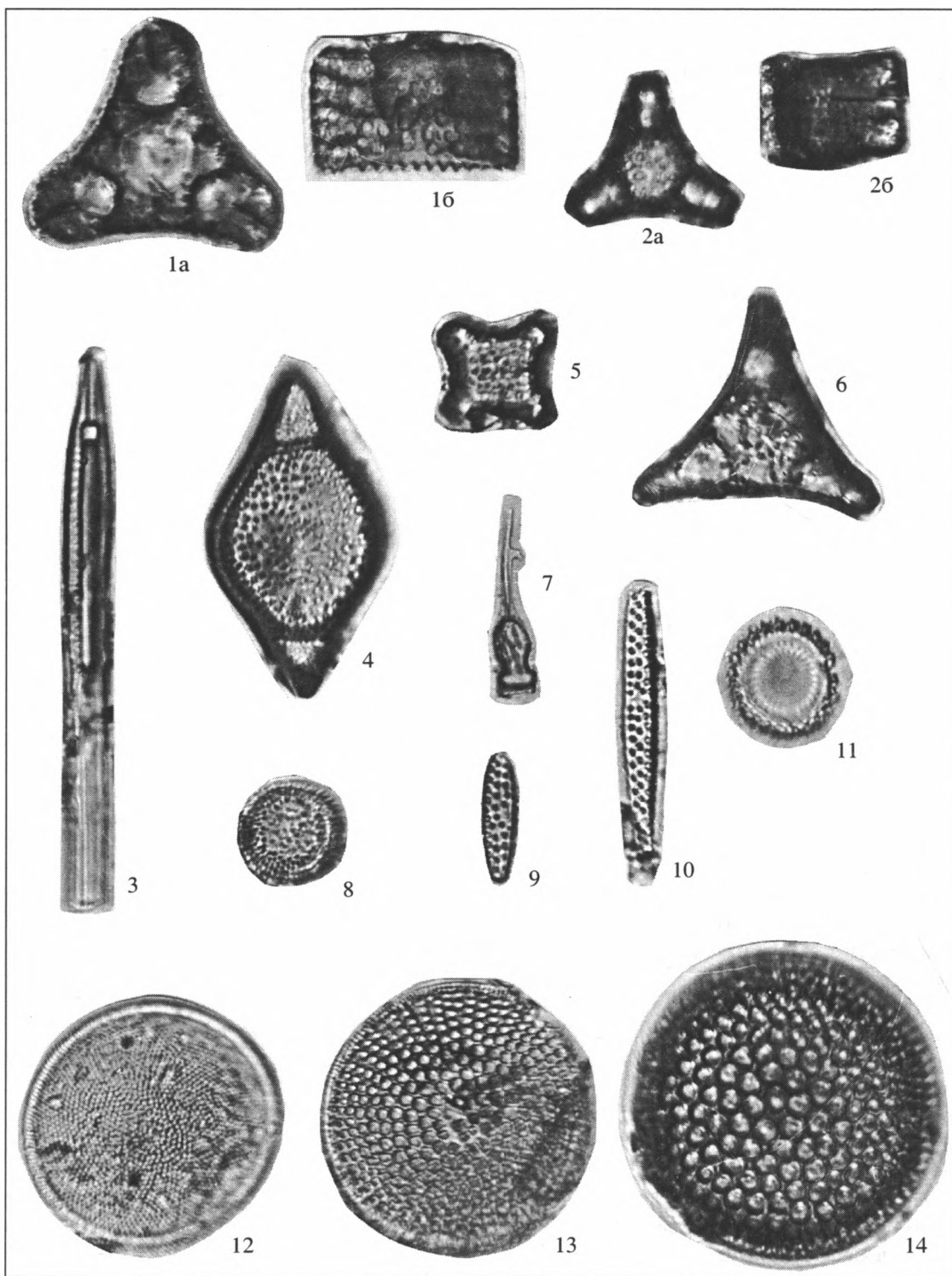
Таблица 2. Продолжение

Диатомовые комплексы		L. kanayai		L. inconspicua v. trilobata		P. monomem- branaceae		R. con- niventa		
Таксономический состав		Экология	B12-39-1-4	B12-36-1-4	B12-36-1-1	B12-38-1	B9-Г4-2947	B9-Г4-2949	B9-Г4-2948	B12-36-1-2
Coscinodiscus sp. A (sensu Barron, Mahood, 1993)	p				0.3					
Coscinodiscus spp.	p	6.0	1.5	0.7	4.7	0.3	5.7	6.0	0.8	*
Coscinodiscus subtilis Ehrenberg	p				1.3		0.3			0.6
Coscinodiscus tenerimus Jousé	p									
Costopyxis schulzii (Steinecke) Gleser	s					0.7				
Costopyxis trochlea (Hanna) Strelnikova	s					1.0				
Craspedodiscus (Porodiscus) splendidus (Greville)	pow					0.3				
Gombos										
Craspedodiscus klavsenii Gründler	pow									*
Craspedodiscus moelleri A. Schmidt	pow	1.0								
Cymatosira spp.	p						0.3			0.2
Distephanosira (Melosira) architecturalis (Brun) Gleser	pn	1.0		0.3			0.3		10.3	0.8
Drepanotheca (Eunotogramma) bivitata (Grunow et Pantocsek) Schrader	b					0.3				
Endictya spp.	po			0.3				0.3		*
Entopyla frickei Hanna	b	1.0								0.2
Ethmodiscus sp.	po									*
Eupodiscus cf. oamaruensis Grunow	p									0.2
Genus et species indet. 1 (sensu Gombos, 1983)	p									*
Genus et species indet. 2 (sensu Gombos, 1983)	p			0.3						
Hemiaulus cf. vesicularius Strelnikova	p				1.0					
Hemiaulus incisus Hajós	pow									4.8
Hemiaulus polycystinorum Ehrenberg	pow	1.0	8.0	10.2	1.7	3.3	0.3	24.0	6.0	
Hemiaulus polymorphus Grunow	pow	1.0	10.0	10.2	2.0	0.7	0.7	2.0	6.0	
Hemiaulus polymorphus v. frigida Grunow	pow				0.7					
Hemiaulus spp.	pow	5.0	0.5	9.3	5.3	2.3	2.7	1.3	8.0	
Hemiaulus subacutus Fenner	pow				0.7					
Hyalodiscus scoticus (Kutzing) Grunow	pn				0.3					
Hyalodiscus spp.	pn	2.0		0.3	0.3			0.3		0.2
Istmia sp.	b	1.0								
Kisseleviella cuspidata Gleser, Dolmatova et Lupikina	pn									0.8
Liradiscus ovalis Greville	s	1.0								6.2
Lisitzinia brachiatum (Brightwell) Gleser	p				*					
Lisitzinia inconspicua (Greville) Gleser var. inconspicua Gleser	p			0.3	0.3	1.0	0.3	0.7		
Lisitzinia inconspicua (Greville) Gleser var. trilobata Gleser	p	*	1.0	30.6	11.3	0.3				
Lisitzinia kanayai (Fenner) Gleser	pw	34.0	24.5	0.3						
Lisitzinia sp. (Triceratium sp. sensu Barron et al., 1984)	p		0.5							
Navicula udintsevii Schrader	p			0.3	0.3	0.3	0.3	0.3	0.3	
Odontella fimbriata (Greville) Schrader	p			0.3						
Odontotropis carinata Grunow ?	pn			0.3						
Odontotropis sp.	pn									1.2
Paralia crenulata (Grunow) Gleser	pn		7.0	0.3	41.3	73.3	66.7	22.3		
Paralia polaris (Grunow) Gleser	pn	2.0		0.3	0.7		0.3			*
Paralia sulcata (Ehrenberg) Cleve	pn	1.0			0.3			0.3	0.3	1.6
Peponia barbadense Greville	pn					*				
Peponia sp. (=Peponia sp. 1 sensu Fenner, 1978)	pn				0.3	0.7	0.3	1.7		
Pinnularia aff. antiqua Tscheremissinova	b									0.2

Таблица 2. Окончание

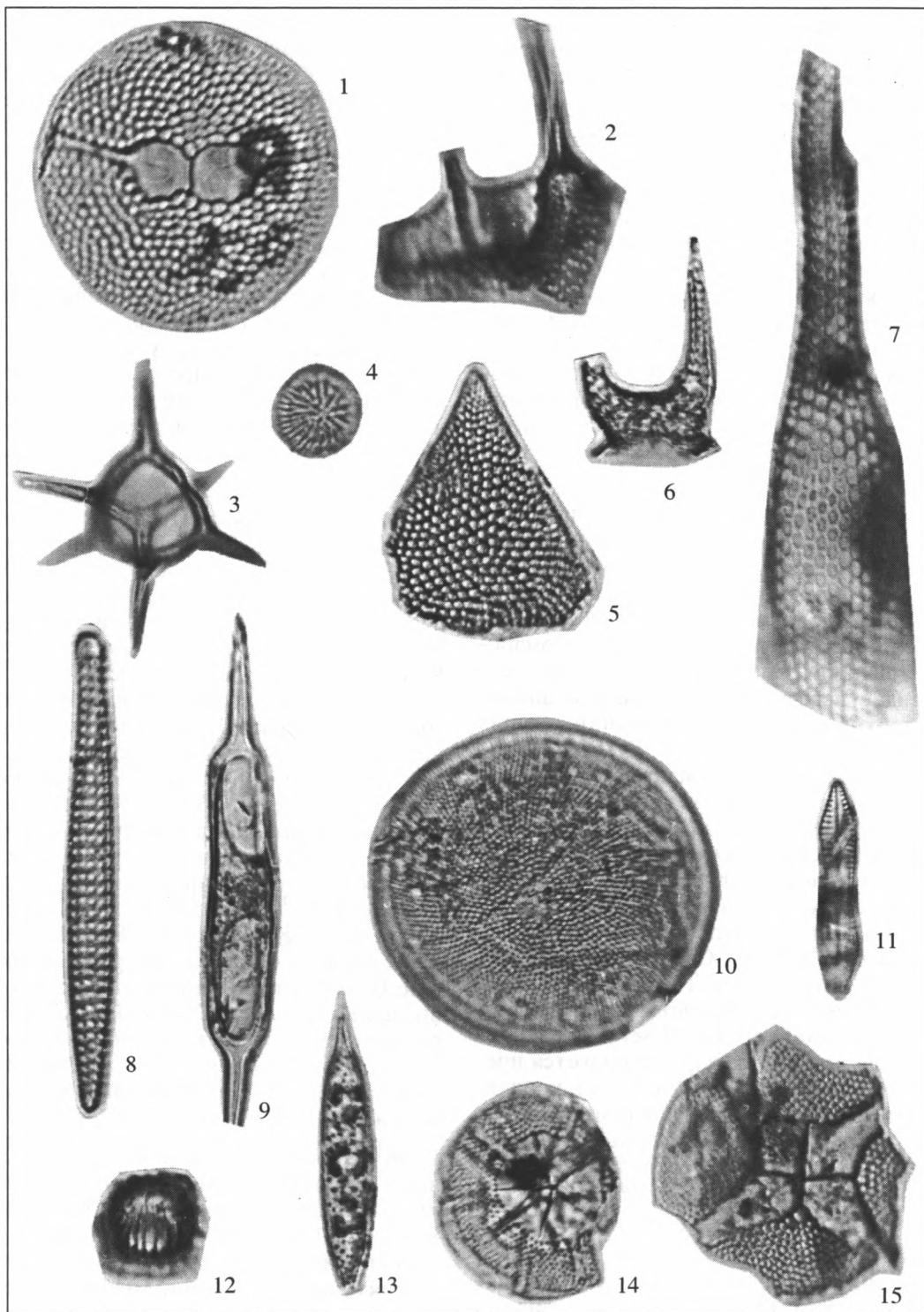
Диатомовые комплексы		L. kanayai		L. inconspicua v. trilobata		P. monomembranaceae		R. conniventa	
Таксономический состав	экология	B12-39-1-4	B12-36-1-4	B12-36-1-1	B12-38-1	B9-Г4-2947	B9-Г4-2949	B9-Г4-2948	B12-36-1-2
Praecymatosira monomembranaceae (Schrader) Strelnikova	p			5.0		7.3	2.0	7.0	
Proboscia cf. interposita (Hajós) Jordan et Priddle	po	1.0				1.7	5.7	8.0	2.0
Proboscia interposita (Hajós) Jordan et Priddle	po	1.0	2.0	1.3	0.7	1.3	3.0	6.7	*
Pseudopodosira corolla (A. Schmidt) Hajós	pn					0.3			*
Pseudopyxilla americana (Ehrenberg) Forti	s				0.3				
Pseudopyxilla sp.	s								
Pseudotriceratium radiosoreticulatum Grunow	pn			0.3					1.6
Pterotheca aculeifera Grunow	s				1.7				
Pterotheca danica Grunow	s	1.0	0.5			0.3	0.3		
Pyxilla gracilis Tempère et Forti	pn				0.3				1.6
Pyxilla spp.	pn	1.0		0.3	0.3	0.3			0.4
Rhizosolenia spp.	po								0.4
Riedelia borealis Sheshukova	p	5.0	14.0	0.3	1.7				*
Riedelia claviger (A. Schmidt) Schrader et Fenner	p								*
Riedelia pacifica Jousé	p			1.0	0.3				
Riedelia sp. 1 (sensu Schrader, Fenner, 1976)	p			5.0	0.3				*
Rutilaria spp.	b							0.3	0.2
Rylandsia biradiata Greville	pow		1.0			*	0.3		
Rylandsia conniventa Gleser, Dolmatova et Lupikina	pow								2.4
Sceptroneis pesplanus Schrader	b			0.3		0.3			
Sceptroneis spp.	b								0.4
Sceptroneis tenue Schrader et Fenner	b				0.3				*
Sceptroneis vermiformis Schrader	b								1.0
Stellarima microtrias (Ehrenberg) Hasle et Sims	pow	3.0	1.0	2.0	0.3				7.2
Stellarima stellaris (Roper) Hasle et Sims	pow	1.0				0.3	0.3		*
Stephanogonia sp.	s				0.3				*
Stephanopyxis cf. aciculatus Dolmatova	pn								
Stephanopyxis cf. broschii Grunow	pn								0.4
Stephanopyxis cf. superba Grunow	pn		1.0						
Stephanopyxis ferox (Greville) Ralfs	pn			2.0					
Stephanopyxis grunowii Grove et Sturt	pn	1.0	2.0	0.3	0.3	0.3			
Stephanopyxis marginata Grunow	pn	2.0	2.0	0.7	0.7	0.3	0.3	0.3	*
Stephanopyxis spp.	pn	10.0	10.0	4.3	5.7	0.7	2.0	3.7	0.4
Stephanopyxis turris (Greville et Arnott) Ralfs	pn	1.0	1.0	4.3	1.0	0.3	0.3		5.6
Stephanopyxis turris var. intermedia Grunow	pn				0.3				
Stictodiscus hardmanianus Greville	b					0.3			0.2
Stictodiscus spp.	b	1.0	0.5		1.0				
Thalassiosira dubiosa Schrader	p								0.8
Thalassiosiopsis wittiana (Pantocsek) Hasle	p						0.3		*
Triceratium arcticum Brightwell	b								
Trinacria excavata Heiberg	p						0.3		
Общее количество в %		100	100	100	100	100	100	100	100

Примечание: p (planktonic) – planktonные, b (benthic) – бентические, n (neitic) – неритические, o (oceanic) – океанические, s (spore) – споры, w (warm-water) – тепловодные диатомеи; * – таксоны, отмеченные после подсчета. Экологическая характеристика дана в основном по следующим источникам: Шешукова-Порецкая, 1967; Baldauf, Barton, 1987; Fenner, 1985.



Фототаблица I. Характерные виды среднеэоценовых комплексов диатомей из отложений Кроноцкого залива (Восточная Камчатка).

1a, 16 – *Lisitzinia kanayai* (Fenner) Gleser, 1a – вид со створки, 16 – вид с пояска, $\times 1300$; 2a, 2b – *Lisitzinia inconspicua* (Greville) Gleser var. *trilobata* Gleser, 2a – вид со створки, 2b – вид с пояска, $\times 1300$; 3 – *Riedelia borealis* Sheshukova, $\times 1300$; 4 – *Peponia* sp., $\times 1300$; 5 – *Lisitzinia inconspicua* var. *inconspicua* Gleser, $\times 1300$; 6 – *Lisitzinia brachiatum* (Brightwell) Gleser, $\times 1300$; 7 – *Pterotheca aculeifera* Grunow, $\times 650$; 8 – *Distephanosira architecturalis* (Brun) Gleser, $\times 1300$; 9–10 – *Praecymatosira monomembranaceae* (Schrader) Strelnikova, $\times 1300$; 11 – *Paralia crenulata* (Grunow) Gleser, $\times 1300$; 12 – *Coscinodiscus hajosiae* Fenner; 13 – *Azpeitia tuberculata* var. *atlantica* (Gleser et Jousé) Sims; 14 – *Coscinodiscus decrescens* Grunow. (1a, 16, 3 – образец В12-39-1-4; 2a, 2b, 6, 7, 12 – образец В12-38-1; 4–5, 8, 10–11, 14 – образец В9-Г4-2949; 9 – образец В9-Г4-2948; 13 – образец В12-36-1-1).



Фототаблица II. Характерные представители среднеэоцен (?) - позднеэоценового комплекса диатомей и силикофлагеллят из отложений Кроноцкого залива.

1 – *Rylandsia conniventa* Gleser, Dolmatova et Lupikina, $\times 1300$; 2 – Genus et species indet. 1 (sensu Gombos, 1983), $\times 1500$; 3 – *Dictyocha hexacantha* Schulz, $\times 1500$; 4 – *Thalassiosira dubiosa* Schrader, $\times 1500$; 5 – *Pseudotriceratum radiosoreticulatum* Grunow, $\times 1300$; 6 – *Hemialius incisus* Hajós, $\times 1300$; 7 – *Pyxilla gracilis* Tempère et Forti, $\times 1300$; 8 – *Sceptroneis vermiciformis* Schrader, $\times 1300$; 9 – *Naviculopsis foliaceae* Deflandre, $\times 600$; 10 – *Coscinodiscus hajosiae* Fenner, $\times 1300$; 11 – *Pinnularia aff. antiqua* Tschernemissinova, $\times 1500$; 12 – *Costopyxis trochlea* (Hanna) Strelnikova, $\times 1300$; 13 – *Kisseleviella cuspidata* Gleser, Dolmatova et Lupikina, $\times 1300$; 14 – *Asterolampra punctifera* (Grunow) Hanna, $\times 1300$; 15 – *Asterolampra praecuticulosa* Fenner, $\times 1000$. (1–15 – образец B12-36-1-2).

неритических видов (71–77%), океанические виды составляют 12–20%. Незначительно по сравнению с вышеописанными комплексами количество тепловодных видов (6–10%).

Комплекс диатомей из верхнего слоя (обр. В9-Г4-2948) близок по составу предыдущему, но имеет обедненный видовой состав (25 видов) и отличается отсутствием ярко выраженного доминанта. Высока численность представителей рода *Hemiallus* и *Paralia crenulata* (Grunow) Gleser, *Proboscia interposita* (Hajós) Jordan et Priddle, *Distephanosira architecturalis* (Brun) Gleser, *Praesumatostira monomembranaceae* (Schrader) Strelnikova. Преобладают океанические виды (45.6%), содержание неритических видов соответственно снизилось (39.2%), заметно увеличилось количество тепловодных видов (около 30%).

Комплекс, выделенный из слоистого алевролита (обр. В12-36-1-2), отличается от предыдущих обилием и разнообразием диатомей и силикофлагеллят, а также видовым составом. Определен 81 вид диатомей. Резко выраженного доминанта нет. Многочисленны и разнообразны представители родов *Hemiallus*, *Azpeitia*, *Coscinodiscus*, *Asterolampra*, *Chaetoceros*. Комплекс составляют виды, известные преимущественно из средне- и верхнеэоценовых отложений разных широт: *Hemiallus incisus* Hajós, *Ryxilla gracilis* Tempère et Forti, *Trinacria excavata* Heiberg, *Rylandsia conniventa* Gleser, Dolmatova et Lupikina, *Coscinodiscus gombosii* Gleser, Dolmatova et Lupikina, *Kisseleviella cuspidata* Gleser, Dolmatova et Lupikina, *Coscinodiscus hajosiae* Fenner, *Pinnularia aff. antiqua* Tscheremissinova, *Asterolampra vulgaris* Greville, *A. praeacutiloba* Fenner, *A. schmidii* Hajós, *Pseudotriceratium radiosoreticulatum* Grunow, *Pseudopodosira corolla* (A. Schmidt) Hajós, *Thalassiosira dubiosa* Schrader, *Sceptroneis vermiciformis* Schrader, *Distephanosira architecturalis* (Brun) Gleser и др. Экологический состав комплекса характеризуется преобладанием океанических видов (59.2%), неритических – в два раза меньше (28.8%), бентических – 6%. Отмечен единичный пресноводный вид *Aulacoseira* sp. Большой процент составляют предположительно тепловодные виды (44%).

В этом образце многочисленны и разнообразны силикофлагелляты (определен 24 вида) – морские жгутиковые одноклеточные водоросли с кремневым скелетом. Они представлены видами *Naviculopsis foliacea* Deflandre, *Corbisema hastata globulata* Bukry, *C. apiculata* (Lemmermann) Hanna, *Bachmannocena apiculata inflata* Bukry, *B. paulschulzii* Bukry, *Dictyocha hexacantha* Schulz, *D. spinosa* (Deflandre) Gleser, *D. deflandrei* Frenguelli ex Gleser и др. (табл. 3).

Среди силикофлагеллят доминирует тепловодный вид *Naviculopsis foliacea* Deflandre, разнообразны и довольно многочисленны представите-

ли рода *Corbisema*, которые тоже считаются тепловодными (Bukry, 1987), поскольку в больших количествах встречаются в низких широтах. Высокое содержание зонального вида *Dictyocha hexacantha* Schulz характерно для низких и, в меньшей степени, средних широт, что также свидетельствует об относительно тепловодном характере вида.

Кроноцкий каньон. Здесь из нижней части разреза (станция В12-39, глубины 2703–1817 м) были подняты вулканомиктовые песчаники и туфопесчаники, грубозернистые туфы, базальты, туфодиатомиты, углистые алевролиты, опоки, кремнистые аргиллиты. Диатомеи установлены лишь в алевролитах (обр. В12-39-1-4), в остальных образцах они представлены или единичными неопределимыми остатками или не обнаружены.

Обнаруженный диатомовый комплекс аналогичен комплексу из отложений каньона Ольги (обр. В12-36-1-4) и характеризуется доминированием зонального среднезоценового вида *Lisitzinia kanayai* (Fenner) Gleser; реже встречены, но относительно разнообразны представители родов *Hemiallus* и *Stephanopyxis*. Остальные виды встречены единичными экземплярами: *Lisitzinia inconspicua* var. *trilobata* Gleser, *Asterolampra vulgaris* Greville, *Coscinodiscus decrescens* Grunow, *Distephanosira architecturalis* (Brun) Gleser, *Riedelia borealis* Sheshukova и др. (табл. 2). Как и в близком комплексе из каньона Ольги, преобладают океанические (57%) и низкоширотные (47%) виды, что свидетельствует о близких условиях формирования комплексов. Силикофлагелляты представлены видом *Dictyocha deflandrei* Frenguelli ex Gleser. В этом образце обнаружены радиолярии, выделенные В.В. Шастиной в комплекс с *Artobotrus auriculaleporis* (Цой и др., 2000). Данный комплекс коррелируется с комплексами зоны *Artobotrus norvegicus* среднего эоцена и слоев с *Phacodiscus testatus grandis* среднего-верхнего эоцена, выделенными в отложениях Норвежского моря.

Жупановский каньон. В этом каньоне опробовалась преимущественно верхняя часть разреза в интервале 1400–145 м (станции В12-22, В12-23, В12-24, В12-26). Она представлена в основном туфодиатомитами, туфоконгломератами, вулканомиктовыми песчаниками и алевролитами. В туфодиатомитах и песчаниках установлены верхнемиоцен–плиоценовые комплексы диатомей, в некоторых из них отмечены переотложенные палеогеновые виды. Ниже драгирование проводилось лишь на станции В12-25 в интервале глубин 2080–1470 м. Поднятые в этом интервале породы представлены базальтами, туфами, туфоконгломератами, туфодиатомитами, алевролитами, песчаниками. Диатомеи обнаружены только в туфодиатомитах и представлены четвертичными ком-

Таблица 3. Таксономический состав силикофлагеллят в образцах Кроноцкого залива (Восточная Камчатка)

Силикофлагелляты	B12-39-1-4	B12-36-1-4	B12-36-1-1	B12-38-1	B9-14-2947	B9-14-2949	B9-14-2948	B12-36-1-2
<i>Bachmannocena apiculata inflata</i> Bukry								16
<i>Bachmannocena paulschulzii</i> Bukry								7
<i>Corbisema apiculata</i> (Lemmermann) Hanna								1
<i>Corbisema glezerae</i> Bukry								8
<i>Corbisema hastata globulata</i> Bukry				1				20
<i>Corbisema hastata hastata</i> (Lemmermann) Bukry								1
<i>Corbisema lamillifera</i> (Gleser) Bukry								1
<i>Corbisema ovalis</i> Perch-Nielsen								1
<i>Corbisema</i> sp.								1
<i>Corbisema triacantha</i> (Ehrenberg) Bukry et Foster						1		1
<i>Dictyocha spinosa</i> (Deflandre) Gleser								1
<i>Dictyocha deflandrei</i> Frenguelli ex Gleser	1			1				1
<i>Dictyocha frenguelli</i> Deflandre								1
<i>Dictyocha hexacantha</i> Schulz								10
<i>Dictyocha pentagona</i> (Schulz) Bukry et Foster								4
<i>Dictyocha</i> sp. (asperoid) sensu Bukry, 1987								1
<i>Dictyocha</i> sp.								10
<i>Distephanus cf. bolivinensis bolivinensis</i> (Frenguelli) Bukry								2
<i>Distephanus crux</i> (Ehrenberg) Haeckel					1			1
<i>Distephanus quinquangellus</i> Bukry et Foster								4
<i>Distephanus</i> sp.						1		
<i>Naviculopsis biapiculata</i> (Lemmerman) Frenguelli								3
<i>Naviculopsis constricta</i> (Schulz) Frenguelli								1
<i>Naviculopsis foliacea</i> Deflandre		1		2				55
Общее количество	1	1	5			2		151

плексами. Из песчаника (обр. 25-3-2) был описан верхнеолигоценовый комплекс диатомей зоны *Stephanopyxis marginata*- *Goniothecium decoratum* (Пушкарь, 1987), однако приведенный комплекс содержит как типичные среднэоценовые (e.g. *Triceratium barbadense* Greville, *T. mirabile* Jousé, *Sheshukovia* (*Triceratium*) *inconspicua* Gleser, *Praesymatosira monomembranaceae* (Schrader) Strelnikova), так и олигоценовые виды (e.g. *Lisitzinia ornata* Jousé, *Coscinodiscus vigilans* Schmidt, *Actinocyclus* sp.), что указывает на возможный переотложенный характер комплекса. Позднее из Жупановского каньона был описан среднэоценовый комплекс радиолярий (Попова, 1989), но, к сожалению, описание было дано без ссылки на номер станции и образца, что не позволяет установить, из какой части разреза он описан.

ОБСУЖДЕНИЕ

Изучение отложений Кроноцкого залива позволило установить в них диатомовые комплексы палеогенового возраста. Они выделены из пород нижних частей наиболее крупных подводных каньонов Ольги и Кроноцкого.

Комплекс 1 выделен из туфодиатомитов и алевролитов (обр. B12-39-1-4, B12-36-1-4). Он характеризуется преобладанием вида *Lisitzinia kanayai* (Fenner) Gleser, а также видами *Riedelia borealis* Sheshukova, *Coscinodiscus decrescens* Grunow, *Hemiaulus polycystinorum* Ehrenberg, *H. polymorphus* Grunow, *Lisitzinia inconspicua* var. *trilobata* Gleser, *Rylandsia biradiata* Greville, *Asterolampra vulgaris* Greville, *Azpeitia tuberculata* var. *atlantica* (Gleser et Jousé) Sims, *Craspedodiscus moelleri* A. Schmidt, *Distephanosira architecturalis* (Brun) Gleser, *Entopyla frikei* Hanna и др.

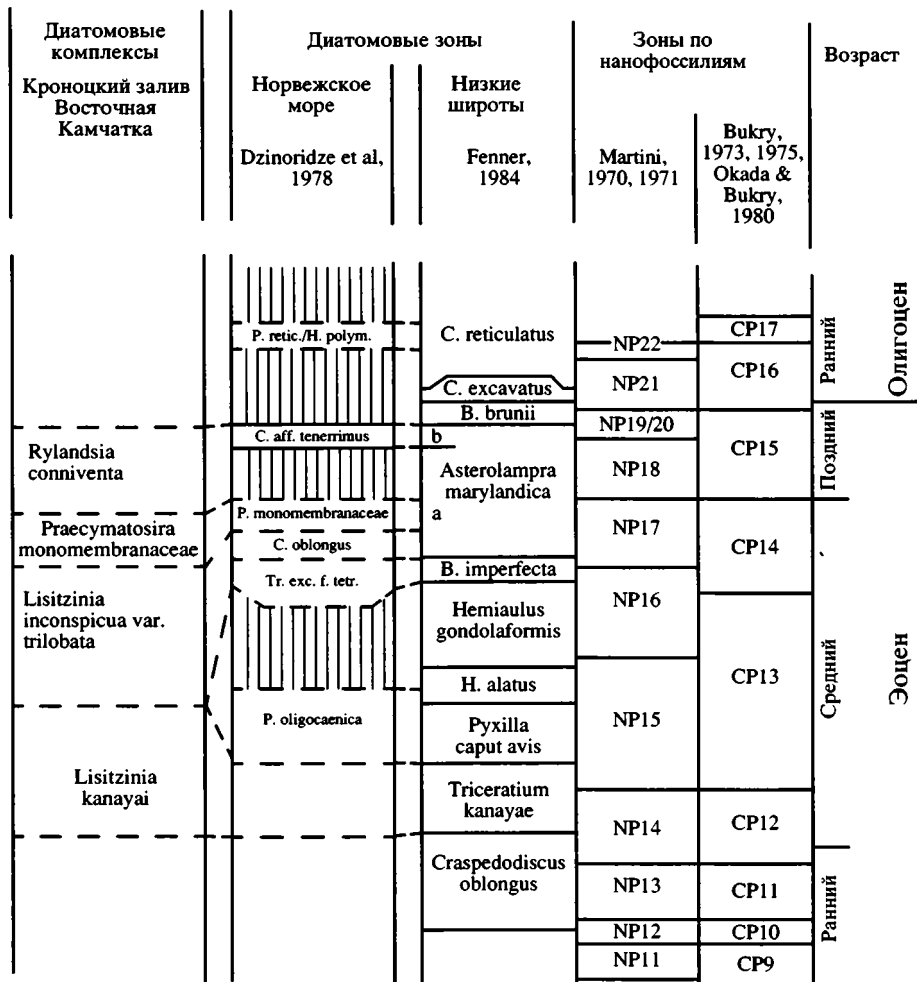


Рис. 3. Сопоставление диатомовых комплексов из отложений Кроноцкого залива (Восточная Камчатка) с комплексами диатомовых зон Норвежского моря и низких широт, скоррелированных с зонами по карбонатному нанопланктону.

На основе многочисленных находок *Lisitzinia* (*Triceratium*) *kanaya* комплекс сопоставляется с комплексом одноименной зоны, выделенной в отложениях низких широт (рис. 3). Эта зона, согласно Дж. Феннер (Fenner, 1984), соответствует биостратиграфическим зонам, выделенным по карбонатному нанопланктону (NP14–NP15), и датируется началом среднего эоцена (ранний лютет). Присутствие таких видов, как *Rylandsia biradiata* Greville, *Lisitzinia inconspicua* var. *trilobata* Gleser, впервые появившихся в этой зоне, отмечено и в нашем комплексе. Данный комплекс по доминированию зонального вида имеет сходство с диатомовыми комплексами из сланцев Kellog (Северная Калифорния), датируемых средним эоценом на основе корреляции с зонами планктонных фораминифер (P12) и нанопланктона (CP13с–CP14а) (42.0–45.0 млн. лет, верхняя часть лютетского – нижняя часть бартонского яруса) (Barton et al., 1984). Общие виды имеются также в фауне радиолярий Кроноцкого каньона и сланцев Кел-

лог (Цой и др., 2000). Экологический состав диатомового комплекса характеризуется преобладанием низкоширотных и океанических видов, что указывает на относительно глубоководные (батиальные?) и теплые (близкие к субтропическим) условия.

Комплекс 2, выделенный из туфодиатомитов и алевролитов (обр. B12-38-1, B12-36-1-1) близок вышеописанному, но отличается доминированием другого типично эоценового вида *Lisitzinia inconspicua* var. *trilobata* Gleser, и участием *Lisitzinia inconspicua* var. *inconspicua* Gleser, *Navicula udintsevii* Schrader, *Costopyxis trochlea* (Hanna) Strelnikova, *Pyxilla gracilis* Tempère et Forti, *Riedelia pacifica* Jousé, *Coscinodiscus tenerrimus* Jousé и др. Близкие комплексы диатомей установлены на прилегающей к Кроноцкому заливу суше, в вулканогенно-осадочных породах ущельинской толщи, верхней подсвиты кубовской свиты и козловской свиты п-ова Кроноцкий (Структурно-вещественные комплексы..., 1995). Свиты датированы преиму-

щественно средним эоценом (бартон) на основе планктонных и бентосных фораминифер и нанопланктону (зона *Reticulofenestra umbilica*, NP16–NP17) (Структурно-вещественные комплексы..., 1995; Щербинина, 1997). Общими видами диатомовых флор отложений этих свит и каньона Ольги Кроноцкого залива являются *Coscinodiscus argus Ehrenberg*, *C. monicae Rattray*, *Sheshukovia (= Lisitzinia) inconspicua var. triloba Gleser*, *Coscinodiscus decrescens Grunow*, *Hemiaulus polymorphus Grunow*, *H. polycystinorum Ehrenberg*, *Riedelia borealis Sheshukova*, *Actinocyclus ingens Rattray* и др. По данным В.В. Шастиной, общие виды имеются и у радиолярий из этих отложений (Цой и др., 2000).

Рассматриваемый комплекс имеет общие элементы с комплексами зон *Trinacria excavata f. tetragona* и *Craspedodiscus oblongus*, выделенными в среднеэоценовых отложениях Норвежского моря (Dzinoridze et al., 1978; Fenner, 1985). Он сходен также с комплексом неформальной зоны *Lisitzinia (Triceratium) inconspicua var. trilobata Gleser*, выделенной в формации Bateque в Калифорнии и датируемой поздним средним эоценом (McLean, Barron, 1988). Зональный вид отмечен в большом количестве в верхней части среднеэоценового разреза Келлог в Калифорнии. Общие элементы имеются также со среднеэоценовыми комплексами диатомей из сланцев формации Kreyenhagen (Oro Loma Section), выходящей на западной стороне долины San Joaquin в Калифорнии (McLean, Barron, 1988) и из Южной Атлантики (Fenner, 1978). Датировка комплексов из формации Bateque, данная на основе известкового нанопланктона (верхняя часть подзоны CP14a – нижняя часть подзоны CP14b), – поздний средний эоцен. На основе этих данных предполагается, что рассматриваемый комплекс формировался скорее всего в конце среднего эоцена. Более молодой возраст этого комплекса диатомей подтверждает фауна радиолярий, которая содержит виды, распространенные в отложениях более молодого возраста – позднего эоцена и даже олигоцена (Цой и др., 2000). Условия формирования комплекса 2 были, вероятно, более прохладные, по сравнению с комплексом 1. Об этом может свидетельствовать высокая концентрация вида *Lisitzinia inconspicua var. trilobata*, считающегося холодноводным элементом, поскольку он обилен в высоких широтах Норвежского моря (Barron et al., 1984). В комплексе 2 отмечено увеличение содержания неритических видов (до 57%).

Комплекс 3 (B9-Г4-2947, B9-Г4-2948, B9-Г4-2949) характеризуется участием зонального вида *Praecymatosira monomembranaceae* (Schrader) Strelnikova, а также видами *Peponia barbadense* Greville, *Peponia* sp., *Coscinodiscus hajosiae* Fenner, *Distephanosira architecturalis* (Brun) Gleser, *Navicula udintsevii* Schrader, *Rylandsia biradiata* Greville и др. Доминирует *Paralia crenulata* (Grunow) Gleser, кото-

рый в массе встречается в палеогене Урала, Южного Казахстана (Жузе, 1978), близкие формы этого вида характеризуют поздний эоцен экваториальной Атлантики (Глезер, Жузе, 1974). Зональный вид *Praecymatosira monomembranaceae* (Schrader) Strelnikova был описан из среднеэоценовых отложений района плато Вёргинг Норвежского моря (Schrader, Fenner, 1976; Dzinoridze et al., 1978; История микропланктона..., 1979; Goll, 1989) и Южной Атлантики (Hajós, 1976). Комплекс с *Praecymatosira monomembranaceae* (= *Cymatosira* sp. B) характеризует одноименную зону Норвежского моря (Dzinoridze et al., 1978). Стратиграфическое положение этой зоны, по мнению Феннер (Fenner, 1985), соответствует объему зон *Trinacria excavata f. tetragona* и *Coscinodiscus oblongus* позднего среднего эоцена. Другим характерным видом этого комплекса является *Peponia* sp., отмеченный ранее лишь в среднеэоценовых отложениях плато Сан Пауло в Южной Атлантике (Fenner, 1978). Н.И. Стрельникова (1992) стратиграфическое положение зоны определяет в пределах нижней части среднего эоцена.

На основе присутствия зонального вида *Praecymatosira monomembranaceae* (Schrader) Strelnikova и ряда видов, характерных для одноименной зоны (e.g. *Lisitzinia inconspicua* Gleser, *Coscinodiscus hajosiae* Fenner) и среднеэоценовых отложений как низких, так и высоких широт, рассматриваемый комплекс сопоставляется с зоной *Praecymatosira monomembranaceae* и датируется концом среднего эоцена. Экологический состав комплексов свидетельствует о том, что в процессе их формирования условия изменились от неритовых до батиальных.

Комплекс 4, выделенный из алевролитов (обр. B12-36-1-2), характеризуется видами *Hemiaulus incisus* Hajós, *Ryxilla gracilis* Tempère et Forti, *Trinacria excavata* Heiberg, *Rylandsia conniventa* Gleser, *Dolmatova et Lupikina*, *Coscinodiscus (Azpeitia) gombosii* Gleser, *Dolmatova et Lupikina*, *Kisseleviella cuspidata* Gleser, *Dolmatova et Lupikina*, *Pinnularia aff. antiqua* Tscheremissinova, *Asterolampra vulgaris* Greville, *A. punctifera* (Grunow) Hanna, *Pseudotriceratum radiosoreticulatum* Grunow, *Thalassiosira dubiosa* Schrader, *Pseudopodosira corolla* (A. Schmidt) Hajós, *Sceptroneis vermiciformis* Schrader и др. Наиболее характерным видом комплекса является *Rylandsia conniventa* Gleser, *Dolmatova et Lupikina*, впервые описанный из этого образца З.И. Глезер с соавторами (1986) и ранее нигде не отмеченный. Представители рода *Rylandsia* распространены в средне-верхнеэоценовых отложениях (Fenner, 1985; Barron, Baldauf, 1995). В Южном океане выделена зона *Rylandsia inequiradiata* позднеэоцен-раннеолигоценового возраста (Gombos, Ciesielski, 1983; Fenner, 1985); вид *Rylandsia biradiata* Greville маркирует среднеэоцен-верхнеэоценовую часть низкоширотной зоны *Asterolampra marylandica*

(подзона “б”) (Fenner, 1984, 1985). Эти зоны, сопоставленные Бэрроном и Балдофом (Barton, Baldauf, 1995) с усовершенствованной шкалой геомагнитной полярности Кэнда и Кента (Cande, Kent, 1992), оказались ограниченными позднеэоценовым интервалом.

Несмотря на то, что в рассматриваемом комплексе имеется ряд видов, характерных для олигоценовых отложений (e.g. *Hemiaulus incisus* Hajós, *Ruxilla gracilis* Tempère et Forti, *Asterolampra punctifera* (Grunow) Hanna, *Pseudotriceratium radiosoreticulatum* Grunow и др.), его особенности позволяют ограничить возраст поздним эоценом. Тем более, что зональные диатомовые комплексы раннего олигоцена, известные в северо-западной части Тихого океана (Орешкина, 1996; Гладенков, Бартон, 1995; Гладенков, 1998; Цой, 2002), заметно отличаются от обсуждаемого комплекса рядом характерных видов. Комплекс 4 условно выделяется в комплекс с *Rylandsia conniventa*, пределы стратиграфического и географического распространения которого еще предстоит уточнить.

Свидетельством того, что данный комплекс диатомей не моложе позднего эоценена, могут служить силикофлагелляты, выделенные из этого образца (табл. 3). Они характерны для комплекса зоны *Dictyocha hexacantha* конца среднего эоценена – начала позднего эоценена, выделенной для низких и средних широт (Bukry, Foster, 1974; Bukry, 1977). Это *Dictyocha hexacantha* Schulz и *Corbisema ovalis* Perch-Nielsen, стратиграфическое распространение которых ограничено данной зоной; *Dictyocha deflandrei* Frenguelli ex Gleser, *D. frenguelli* Deflandre, *D. pentagona* (Schulz) Bukry et Foster, появившиеся в этой зоне; *Dictyocha spinosa* (Deflandre) Gleser, *Bachmannocena paulschulzii* Bukry, *Naviculopsis foliacea* Deflandre, исчезающие около верхней границы данной зоны (Bukry, 1981, 1984; Perch-Nielsen, 1985). Остальные виды комплекса хоть и не ограничены в своем распространении зоной *Dictyocha hexacantha*, обычны для нее. Зональный вид присутствует в биокремнистых среднезоценовых сланцах Келлог (Kellogg Shale), в средне- и верхнезоценовой частях формации Крейенхаген (Kreyenhagen) в Калифорнии (Barton et al., 1984), в верхнезоценовой формации Оамару (Oamaru) в Новой Зеландии (Bukry, 1987).

Таким образом, выделенный комплекс силикофлагеллят соответствует зоне *Dictyocha hexacantha*, датируемой концом среднего – началом позднего эоценена. Учитывая, что диатомовая флора представлена в основном видами этого же возрастного интервала, предполагается, что возраст комплекса диатомей с *Rylandsia conniventa* и силикофлагеллят зоны *Dictyocha hexacantha* конец среднего – поздний эоцен.

Ряд общих видов диатомей и силикофлагеллят отмечены в оммайской свите¹ (побережье Пенжинской губы) и в свите мыса Телеграфический (низовья р. Анадырь) верхнего эоценена (Шешукова-Порецкая, 1967; Невретдинова, 1982), но в основном это виды широкого стратиграфического распространения. Отдельные общие виды имеются и в комплексе диатомей из свиты мыса Тонс о-ва Карагинского (Орешкина, 1982, 1996), но он включает уже характерные олигоценовые виды.

Необходимо отметить, что в глубоководных скважинах (883, 884 ODP), пробуренных на близко расположенной к Кроноцкому заливу подводной возвышенности Детройт, среднезоценовый интервал представлен преимущественно известковым планктоном – фораминиферами и нанопланктоном (Proceedings of the ODP..., 1995; Басов, 1997). Диатомеи в этом интервале не обнаружены, радиолярии редки и представлены типично низкоширотными видами, которые не обнаружены в комплексах из Кроноцкого залива (Цой и др., 2000).

ЗАКЛЮЧЕНИЕ

В вулканогенно-осадочных породах, выходящих в бортах Кроноцкого каньона и каньона Ольги, выделены три среднезоценовых (комpleksы зон *Lisitzinia kanayai*, *Lisitzinia inconspicua* var. *trilobata* и *Praecymatosira monomembranaceae*) и один предположительно средне-позднезоценовый (комплекс с *Rylandsia conniventa*) комплекса диатомей и силикофлагеллят. Впервые приводится обширный комплекс силикофлагеллят, относимый к зоне *Dictyocha hexacantha*. Предполагается, что представленные эоценовые комплексы диатомей и силикофлагеллят формировались преимущественно в батиальных условиях при относительно высоких (ближких к субтропическим) температурах поверхностных вод.

Автор выражает глубокую благодарность Н.И. Селивёрстову, С.В. Высоцкому, Е.Г. Лупикиной, В.С. Пушкирю за предоставление образцов и материалов, А.Ю. Гладенкову и В.В. Шастиной – за прочтение рукописи.

Работа выполнена при финансовой поддержке РФФИ, проект № 99-05-64714 и Федеральной целевой программы “Мировой океан” (проект 4.3.4. “Строение геосфер и оценка минеральных ресурсов дальневосточных морей и западной части Тихого океана”).

¹ Находки в оммайской свите планктонных и бентосных фораминифер раннезоценового возраста дают основание для пересмотра возраста на ранне-среднезоценовый (Решения Рабочих..., 1998)

СПИСОК ЛИТЕРАТУРЫ

- Басов И.А.** Планктонные фораминиферы и стратиграфия палеогена поднятия Обручева (Северная Пацифика) // Стратиграфия. Геол. корреляция. 1997. Т. 5. № 6. С. 40–50.
- Беньяковский В.Н., Гладенков Ю.Б.** Климатические колебания и миграции биоты в палеогене Северной Пацифики // Стратиграфия. Геол. корреляция. 1996. Т. 4. № 4. С. 67–82.
- Гладенков А.Ю.** Зональная стратиграфия олигоцена и нижнего миоцена Северо-Тихookeанского региона по диатомеям // Стратиграфия. Геол. корреляция. 1998. Т. 6. № 2. С. 50–64.
- Глазер З. И., Жузе А. П.** Диатомеи и силикофлагелляты эоцена экваториальной Атлантики // Микропалеонтология океанов и морей. М.: Наука, 1974. С. 49–62.
- Глазер З.И., Долматова Л.М., Лупикина Е.Г.** Морские палеогеновые диатомовые водоросли Восточной Камчатки // Ботан. журнал. 1986. Т. 71. № 7. С. 851–859.
- Жузе А.П.** Стратиграфические и палеогеографические исследования в северо-западной части Тихого океана. М.: Изд-во АН СССР, 1962. 260 с.
- Жузе А. П.** Диатомеи и силикофлагелляты позднего олигоцена Южного Мангышлака // Морская микропалеонтология. М.: Наука, 1978. С. 49–56.
- История микропланктона Норвежского моря. Л.: Наука, 1979. 192 с.
- Левашова Н.М., Шапиро М.Н., Беньяковский В.Н., Баженов М.Л.** Кинематика Кроноцкой островной дуги (Камчатка) по палеомагнитным и геологическим данным // Геотектоника. 2000. № 2. С. 65–84.
- Научно-технический отчет о работе в 6-ом и 9-ом рейсах НИС “Вулканолог” с 26 августа по 27 октября 1978 г. и с 30 сентября по 2 ноября 1979 г. на акваториях, прилегающих к Восточной Камчатке и Курильским островам. Т. II. Петропавловск-Камчатский: Ин-т вулканологии ДВНЦ АН СССР, 1980. С. 132.
- Научно-технический отчет о работах в 12-ом рейсе НИС “Вулканолог” в северо-западной части Тихого океана и Беринговом море с 28 июля по 30 сентября 1981 г. Т. II. Петропавловск-Камчатский: Ин-т вулканологии ДВНЦ АН СССР, 1982. С. 91–111.
- Невретдинова Т.Л.** Комплексы диатомовой флоры из палеогеновых, неогеновых и плейстоценовых отложений Северо-Востока СССР // Материалы по геологии и полезным ископаемым Северо-Востока СССР, 1982. Вып. 26. С. 93–100.
- Орешкина Т.В.** Морские диатомеи из палеогеновых отложений острова Карагинского (Восточная Камчатка) // Морская микропалеонтология. М.: Наука, 1982. С. 159–162.
- Орешкина Т.В.** Олигоцен Дальневосточного сектора Тихого океана: комплексы диатомей из пиленгской и борской свит Сахалина // Исследование микроорганизмы как основа стратиграфии, корреляции и палеобиогеографии фанерозоя. М.: ГЕОС. 1996. С. 133–148.
- Попова И.М.** Некоторые аспекты палеоокеанологических исследований палеоген-неогеновых бассейнов Южного Сахалина и Восточной Камчатки // Палеонтологиче-стратиграфические исследования фанерозоя Дальнего Востока. Владивосток: ДВНЦ АН СССР, 1989. С. 63–68.
- Пушкарь В.С.** Диатомеи палеогеновых отложений Северо-Западной Пацифики // Палеонтология Востока СССР. Владивосток: ДВНЦ АН СССР, 1987. С. 60–70.
- Решения Рабочих Межведомственных региональных стратиграфических совещаний по палеогену и неогену восточных районов России – Камчатки, Корякского нагорья, Сахалина и Курильских островов. Объяснительная записка к стратиграфическим схемам. М.: ГЕОС, 1998. 147 с.
- Селивёрстов Н.И.** Строение дна прикамчатских акваторий и геодинамика зоны сочленения Курило-Камчатской и Алеутской островных дуг. М.: Научный мир, 1998. 164 с.
- Стрельникова Н.И.** Палеогеновые диатомовые водоросли. СПб: С.-ПбГУ, 1992. 312 с.
- Стрельникова Н.И., Козыренко Т.Ф., Жаковщикова Т.К.** Новый род *Hyalopoda* семейства *Hyalodiscaceae* (*Bacillariophyta*) // Ботан. журнал. 1998. Т. 83. № 9. С. 96–98.
- Структурно-вещественные комплексы, история развития и тектоника Восточной Камчатки. № гос. регистрации 15-89-6/56. Книга I. Петропавловск-Камчатский: ГГП “Камчатгеология”. 1995. С. 184–313.
- Цой И.Б.** Олигоценовые комплексы диатомей из отложений Курило-Камчатского желоба // Океанология. 2002. Т. 42. № 2. С. 267–280.
- Цой И.Б., Шастина В.В., Горовая М.Т.** Микропалеонтологическая характеристика кайнозойских отложений Кроноцкого залива (Восточная Камчатка). Владивосток: ТОИ ДВО РАН, 2000. Деп. в ВИНИТИ. № 2638-В00. 23 с.
- Шешукова-Порецкая В.С.** Неогеновые морские диатомовые водоросли Сахалина и Камчатки. Л.: Изд-во ЛГУ, 1967. 432 с.
- Щербинина Е.А.** Наннопланктон палеогеновых отложений Восточно-Камчатского региона // Стратиграфия. Геол. корреляция. 1997. Т. 5. № 2. С. 60–70.
- Baldauf J.G., Barron J.A.** Oligocene marine diatoms recovered in dredge samples from the Navarin Basin Province, Bering Sea. U.S. Geol. Survey Bull. Washington: U.S. Govt. Printing Office, 1987. P. 1–17.
- Baldauf J.G., Barron J.A.** Evolution of biosiliceous sedimentation patterns – Eocene through Quaternary: Paleoceanographic response to Polar cooling // Geological History of the Polar Oceans: Arctic versus Antarctic / Eds Bleil U. and Thiede J. Netherlands: Kluwer Academic Publishers, 1990. P. 575–607.
- Barron J.A., Baldauf J.G.** Cenozoic Marine diatom biostratigraphy and applications to Paleoclimatology and Paleoceanography // C.D. Blome et al. Siliceous Microfossils. Paleontol. Soc. Short Courses in Paleontology. 1995. № 8. P. 108–118.
- Barron J.A., Bukry D., Poore R.Z.** Correlation of the middle Eocene Kellog Shale of northern California // Micropaleontology. 1984. V. 30. № 2. P. 138–170.
- Barron J.A., Mahood A.D.** Exceptionally well-preserved early Oligocene diatoms from glacial sediments of Prydz Bay, East Antarctica // Micropaleontology. 1993. V. 39. № 1. P. 29–40.
- Bukry D.** Low latitude coccolith biostratigraphic zonation // Init. Rep. DSDP. Washington: U.S. Govt. Printing Office. 1973. V. 15. P. 685–704.

- Bukry D.* Coccolith and silicoflagellate stratigraphy, north-western Pacific Ocean, DSDP Leg 32 // Init. Rep. DSDP. Washington: U.S. Govt. Printing Office. 1975. V. 32. P. 677–701.
- Bukry D.* Silicoflagellate and coccolith stratigraphy, DSDP, Leg 29 // Init. Rep. DSDP. Washington: U.S. Govt. Printing Office. 1977. V. 29. P. 825–839.
- Bukry D.* Synthesis of silicoflagellate stratigraphy for Maastrichtian to Quaternary marine sediment // SEMP Special Publication. 1981. № 32. P. 433–444.
- Bukry D.* Paleogene paleoceanography of the Arctic Ocean is constrained by the middle or late Eocene age of USGS Core FI-422: Evidence from Silicoflagellates // Geology. 1984. V. 12. P. 199–201.
- Bukry D.* Eocene siliceous and calcareous phytoplankton, DSDP Leg 95 / Poag C.W., Watts A. et al. // Init. Rept. DSDP. Washington: U.S. Govt. Printing Office. 1987. V. 95. P. 395–415.
- Bukry D., Foster J.H.* Silicoflagellate zonation of Upper Cretaceous to Lower Miocene deep-sea sediments // U.S. Geol. Surv. J. Res. 1974. V. 2. № 3. P. 303–310.
- Cande S.C., Kent D.V.* A new geomagnetic polarity time scale for the Late Cretaceous and Cenozoic // J. Geophys. Research. 1992. V. 97 (B 10). P. 13917–13951.
- Dzinoridze R.N., Jousé A.P., Koroleva-Golikova G. S. et al.* Diatom and Radiolarian Cenozoic stratigraphy, Norwegian Basin; DSDP Leg 38 // Init. Rep. DSDP. Washington: U.S. Govt. Printing Office. 1978. V. 38 (supplementary volume). P. 289–427.
- Fenner J.* Cenozoic diatom biostratigraphy of the equatorial and southern Atlantic Ocean // Init. Rept. DSDP. Washington: U.S. Govt. Printing Office. 1978. V. 39. P. 491–623.
- Fenner J.* Eocene – Oligocene planktic diatom stratigraphy in the low latitudes and the high southern latitudes // Micro-paleontology. 1984. V. 30, № 4. P. 319–342.
- Fenner J.* Late Cretaceous to Oligocene planktic diatoms // Plankton Stratigraphy / Eds Bolly H.M., Saunders J., Perch-Nielsen K. Cambridge: Cambridge University Press. 1985. P. 413–456.
- Gladenkov A.Yu., Barron J.A.* Oligocene and Early Miocene Diatom Biostratigraphy of Hole 884B // Proc. ODP, Scien. Results / Eds Rea D.K., Basov I.A., Allan J.F. et al. 1995. V. 145. P. 21–41.
- Gnibidenko H., Bykova T.G., Veselov O.V. et al.* The tectonics of the Kuril-Kamchatka Deep-Sea Trench // Geodynamics of the Western Pacific-Indonesian Region. Geodynamics series, V. 11 / Eds Hilde T.W., Uyeda S. Washington: American Geophysical Union. 1983. P. 249–285.
- Goll R.M.* A synthesis of Norwegian Sea biostratigraphies: ODP Leg 104 on the Voring Plateau // Proc. ODP, Scien. Results. 1989. V. 104. P. 777–826.
- Gombos A. M.* Middle Eocene diatoms from the South Atlantic // Init. Rep. DSDP / Eds Ludwig W.J., Krasheninikov V.A. et al. Washington: U.S. Govt. Printing Office, 1983. V. 71. P. 565–581.
- Gombos A.M., Ciesielski P.F.* Late Eocene to Early Miocene diatoms from the Southwest Atlantic // Init. Rep. DSDP / Eds Ludwig W.J., Krasheninikov V.A. et al. Washington: U.S. Govt. Printing Office, 1983. V. 71. P. 583–634.
- Hajos M.* Upper Eocene and Lower Oligocene Diatomaceae, Archeomonadaceae, and Silicoflagellatae in Southern Pacific Sediments, DSDP Leg 29 // Init. Rep. DSDP. Washington: U.S. Govt. Printing Office. 1976. V. 35. P. 817–883.
- Hein J.R., Scholl D.W., Barron J.A. et al.* Diagenesis of Late Cenozoic diatomaceous deposits and formation of the bottom simulators reflector in the southern Bering Sea // Sedimentology. 1978. № 25. P. 155–181.
- Koizumi I.* Sedimentary environments of Neogene diatomaceous sediments, West coast of Japan // Siliceous deposits in the Pacific Region. Amsterdam: Elsevier, 1983. P. 347–360.
- Martini E.* Standard Paleogene calcareous nannoplankton zonation // Nature. 1970. № 226. P. 560–561.
- Martini E.* Standard Tertiary and Quaternary calcareous nannoplankton zonation // Proceedings of the Second Planktonic Conference, Rome, 1970 / Ed. Farinacci A. 1971. P. 739–785.
- McLean H., Barron J.A.* A Late Middle Eocene Diatomite in Northwestern Baja California Sur, Mexico: Implications for tectonic Translation // Paleogene stratigraphy, West Coast of North America / Eds Filewicz M. V., Squires R. L. S.E.P.M. West Coast Paleogene Symposium, 1988. V. 58. P. 1–7.
- Okada H., Bukry D.* Supplementary modification and introduction of code numbers of the low latitude coccolith biostratigraphic zonation (Bukry, 1973, 1975) // Marine Micro-paleontology. 1980. № 5. P. 321–325.
- Perch-Nielsen K.* Silicoflagellates // Plankton Stratigraphy / Eds Bolly H.M., Saunders J., Perch-Nielsen K. Cambridge: Cambridge University Press, 1985. P. 811–846.
- Proceedings of the Ocean Drilling Programm. Scientific Results / Eds Rea D.K., Basov I.A., Allan J.F. et al. College Station, TX (ODP). 1995. V. 145. P. 138–220.
- Schrader H.J., Fenner J.* Norwegian Sea Cenozoic diatom biostratigraphy and taxonomy // Init. Rep. DSDP. Washington: U.S. Govt. Printing Office, 1976. V. 38. P. 921–1099.
- Yanagisawa Y.* Diatom assemblages as an indicator of bathymetry // J. Sed. Japan. 1996. № 43. P. 59–67.

Рецензенты Ю.Б. Гладенков, Т.В. Орешкина